

名古屋大学 正会員 川村 国夫
○ 名古屋大学 学生会員 秋田 衛

1. はじめに 掘削にともなうヒービング破壊については、Terzaghi & Peck や Tshebotarioff らが、種々の設計法を提唱しているが、統一的な設計法はない。また現場で、ヒービングの兆候が見られた時でも、それを破壊予知に生かす試みは数少ない。筆者らは「掘削過程中に動態観測を実施し、ヒービング破壊を予知する方法」の研究を進めているが、本報文では根切り面の盤膨れ挙動について検討を加える。ここで^T根切り面の盤膨れは、a)土被り压の除去による瞬間的弾性膨張 h_e 、b)時間的な吸水膨張 h_s 、c)周辺地盤からの回り込みによる膨張 h_h の和として表わされる。そして h_h の発生は、ヒービング破壊の兆候と考えられることができるため、 h_e 、 h_s 、 h_h の和をヒービング破壊に対する許容値とする」と仮定した。

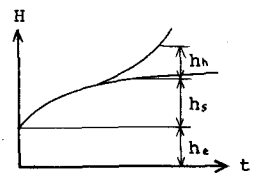


Fig. 1 膨張量の種類

2. 厚密膨張試験 土の膨張挙動を調べるために、厚密後の除荷試験を行った。試験に用いた試料は、仙台市港から採取した乱さない沖積粘土で、 $\gamma_t = 1.55 \text{ kN/m}^3$, $\omega = 74\%$, $S_f = 99.5\%$, $C_u = 0.24 \text{ kN/cm}^2$ であった。試験はまず一般の圧密試験と同様に供試体をセットし、6個の供試体各々に、0.4, 0.8, ..., 12.8 kN/cm² の荷重(P)を載荷した。24時間圧密後、これらの荷重を全て除荷($\Delta P - P$)し時間的な膨張量を測定した。測定結果は次のように整理した。
 ①除荷前の非排水強度 C'_u を、過去に多く測定された $C'_u/\Delta P$ 値を参考して、 $C'_u = C_u + 0.3P (\text{kN/cm}^2)$ と推定した。
 ②安定係数 $N_b = \Delta P/C'_u$ を求めた。
 ③各時間の膨張量を、24時間圧密後の供試体高さに対するヒズミ $\epsilon (%)$ で表わした。
 ④除荷後 t_n のヒズミ速度を $(\epsilon_n - \epsilon_{n-1})/(t_n - t_{n-1})$ で求め $\dot{\epsilon} (%)/\text{分}$ とした。

3. 弹性膨張、吸水膨張 試験結果を Fig. 2 ~ 4 に示した。Fig. 2 から、 t が小さく、 $(P - C'_u) \geq 0.2 \text{ kN/cm}^2$ の範囲で $(\Delta P - C'_u)$ と ϵ の間に、 a , b を定数として近似的に次の関係式が得られた。

$$\ln \epsilon = a + b \cdot \ln(\Delta P - C'_u) \quad (1)$$

弹性膨張は時間的なものと仮定したから、 t が小さいときの a , b を用いて

$$\epsilon = e^a \times (\Delta P - C'_u)^b \quad (2)$$

であるからこの ϵ を、弹性ヒズミ ϵ_e と定義する。

Fig. 3 からは、 $t \geq 4$ 分の範囲で、 t と ϵ の間に次の関係式が得られた。

$$\ln \dot{\epsilon} = \ln \dot{\epsilon}(t_1, N_b) - m \cdot \ln(t/t_1) \quad (3)$$

ここで、 t_1 : 基準時の時間(例えば4分) $\dot{\epsilon}(t_1, N_b) : t = t_1$, 安定係数

N_b における $\dot{\epsilon}$ の値 $m : \ln t$ と $\ln \dot{\epsilon}$ の傾きを表す係数である。

Fig. (5)には $t_1 = 4$ 分における、 N_b と $\dot{\epsilon}(t_1, N_b)$, m の関係を示した。

また Fig. 4 からは、 N_b と $\dot{\epsilon}$ の間に次の関係式が得られた。

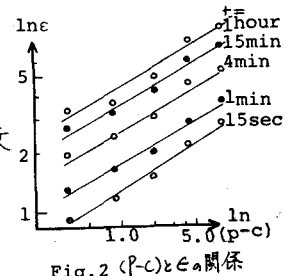


Fig. 2 (P-C')-ε関係

$$\ln \dot{\epsilon} = \ln \dot{\epsilon}(t, N_{bo}) + \alpha \cdot N_b \quad (4)$$

ここで、 $\dot{\epsilon}(t, N_{bo})$: $N_b = 0$ としたときの時間 t における $\dot{\epsilon}$ の値 α : N_b と $\ln \dot{\epsilon}$ の傾きである。

Fig. 6 には、 t と $\dot{\epsilon}(t, N_{bo})$ 、 α の関係を示した。

次に $t=t_1$ 、 $N_b=0=N_{bo}$ における $\dot{\epsilon}$ と $\dot{\epsilon}(t, N_{bo})$ とおくと、式(3)、式(4)は次式のように積合される。

$$\ln \dot{\epsilon} = \ln \dot{\epsilon}(t_1, N_{bo}) + \alpha \cdot N_b - m \cdot \ln(t/t_1) \quad (5)$$

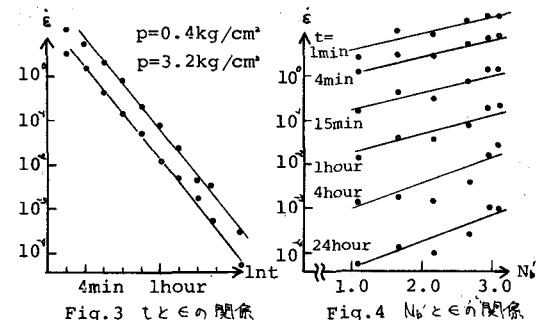
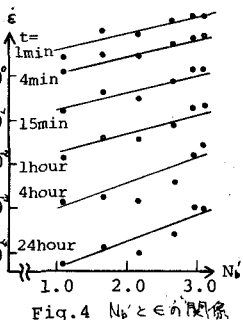
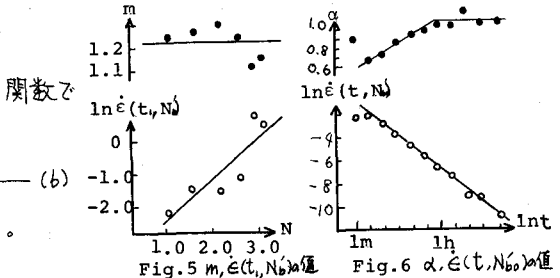
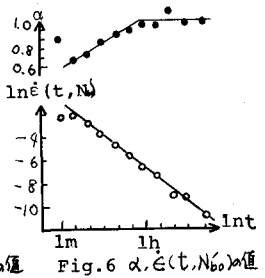
又は $\dot{\epsilon} = \dot{\epsilon}(t_1, N_{bo}) \times e^{\alpha N_b} \times (t/t_1)^{-m}$

$$= A \cdot e^{\alpha N_b} \cdot (t/t_1)^{-m} \quad (5')$$

ここで、 $A = \dot{\epsilon}(t_1, N_{bo})$ である。 α 、 m が時間 t の関数でなく、 m キ1なら、式(5')を時間 t で積分して

$$\dot{\epsilon} = \dot{\epsilon}_0 + A \cdot e^{\alpha N_b} \times \frac{1}{m-1} t_1^m \times t^{1-m} \quad (b)$$

式(b)で与えられる $\dot{\epsilon}$ を吸水ヒズミ ϵ_s と定義する。

Fig. 3 t と $\dot{\epsilon}$ の関係Fig. 4 N_b と $\dot{\epsilon}$ の関係Fig. 5 $m, \dot{\epsilon}(t, N_b)$ の値Fig. 6 $\alpha, \dot{\epsilon}(t, N_b)$ の値

4. 現場データとの比較 膨張量は、本報文ではヒズミで表わし下が、実測データは膨張変位量で表わされている。一般に、擾乱による応力開放によつて、変形特性に影響を与える範囲は、過圧密比(O.C.R.)が2より大きい範囲といわれる。またストレスパスや間ゲキ水圧係数から検討すれば、膨張挙動が顕著に現れるのは、O.C.R. ≥ 4 の範囲と考えてよいであろう。そこで筆者らは、Fig. 7 に示した様に、“O.C.R. = 2 による膨張ヒズミ $\epsilon = 0$ とし、除荷量の影響は深さ方向に直線的に減少する”と仮定し、O.C.R. ≥ 4 の範囲で膨張量を議論することにした。さて現場データを解釈してみると Fig. 8 のように(A)瞬間的擾乱する。

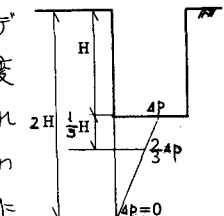


Fig. 7 除荷量の影響

(B)段階的擾乱する、各々の工法による膨張特性を考えると(A)では弾性変形 h_e が発生する。(B)では、②まで擾乱するとA点は、①②の擾乱のためA'点まで上昇する。②~③の擾乱でこれらの弾性膨張は取り除かれ、②~③間の土被り圧の除去に対応する弾性膨張 h'_e が発生する。すなわち(A)の h_e に比べれば、その絶対量は非常に小さい。実際の擾乱では②~③のように離散的ではなく、しかも弾性膨張は瞬間的に発生するところから、一般的には h_e はほとんど出現しない。として現場データを解釈できるであろう。したがつて現場データとの比較では、吸水膨張だけを議論していけばよいであろう。

Fig. 9 は、現場データと、理論値との比較である。(a)千葉のデータは回り込みによる膨張が発生していないものであり、一方(b)オスロのデータは、回り込み量が顕著な例である。なお理論値は本試験から得られた $m=1.22$, $\alpha=1.0$ を使用し、 h_p の測定は、擾乱の4時間後に開始したものとする。これらの比較検討より、理論値はほぼ正当であると思われる。

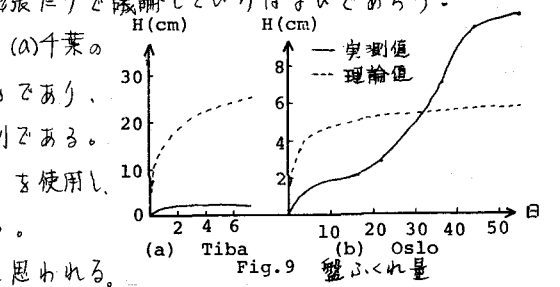


Fig. 9 膨ふくれ量